



Estimation a posteriori

rapport scéance 1

Table des matières

1	Méthode d'Euler explicite sur l'EDO $u'(t) = -\lambda u$, $u(0) = 1$	2
1.1	Problème et objectif	2
1.2	Code Python utilisé	2
1.3	Comparaison visuelle pour deux pas de temps	8
1.4	Erreurs L^2 en fonction de Δt	9
1.5	Erreur ponctuelle vs norme de la dérivée exacte	10
2	Convection–diffusion avec source gaussienne	11
2.1	Résumé	11
2.2	L'équation et les données	11
2.3	Discrétisation spatiale	11
2.4	Schéma en temps (IMEX)	12
2.5	Code Python utilisé	12
2.6	Évaluation de l'erreur et post-traitement	17
2.7	Le triptyque généré et son interprétation	17
3	Simulation numérique d'une équation de convection–diffusion–réaction 1D (conditions de Dirichlet–Neumann)	18
3.1	Motivation	18
3.2	Code Python	18
3.3	Ce que fait le code et comment il le fait	21
3.4	Résultat (figure)	22
3.5	Commentaire sur la figure	22

Chapitre 1

Méthode d'Euler explicite sur l'EDO

$$u'(t) = -\lambda u, \quad u(0) = 1$$

1.1 Problème et objectif

On considère l'équation différentielle ordinaire (EDO)

$$u'(t) = -\lambda u(t), \quad u(0) = 1, \quad \lambda = 1, \quad t \in [0, T], \quad T = 60 \text{ s},$$

dont la solution exacte est $u_{\text{ex}}(t) = e^{-\lambda t}$. Nous appliquons la méthode d'Euler explicite et nous analysons (i) la solution numérique et (ii) les erreurs (ponctuelle et intégrée en norme L^2) lorsque le pas de temps Δt varie.

1.2 Code Python utilisé

Le script suivant (`Euler_ODE_Errors.py`) génère les figures et calcule les erreurs. Il intègre l'EDO par Euler explicite, mesure les erreurs L^2 sur $[0, T]$ pour u et pour sa dérivée, et produit trois figures sauvegardées sous: `Comparaison_visuelle.png`, `Erreur_vs_delta_temps.png` et `Erreur_vs_derive.png`.

Ce que fait le code.

- **Intégration numérique.** La fonction `euler_explicite(pb, dt)` réalise l'intégration $u_{n+1} = u_n + \Delta t(-\lambda u_n)$ jusqu'à T , en ajustant le tout dernier pas pour tomber exactement à T .
- **Erreurs L^2 .** `l2_error_function` calcule $\|u_h - u_{\text{ex}}\|_{L^2(0,T)}$ en intégrant au sens des rectangles à gauche sur chaque intervalle. `l2_error_derivative` calcule $\|u'_h - u'_{\text{ex}}\|_{L^2(0,T)}$ en différenciant u_h sur chaque intervalle et en comparant à la dérivée exacte au point milieu.
- **Pente de convergence.** `convergence_slope` effectue une régression linéaire sur le nuage ($\log \Delta t$, \log erreur) pour estimer la pente (ordre numérique).
- **Figures.** `plot_part1_two_rows` produit une comparaison visuelle (solutions et erreurs) pour deux pas de temps. `plot_part2` trace les erreurs L^2 en fonction de Δt (\log - \log) et affiche les pentes estimées. `plot_error_vs_exact_derivative`

représente l'erreur ponctuelle $|e(t_n)|$ en fonction de $|u'_{\text{ex}}(t_n)|$, en échelle linéaire puis log-log.

Listing du code:

Listing 1.1 – Script Python Euler_ODE_Errors.py générant les figures et les erreurs

```

1  """
2  Euler_ODE_Errors.py
3  -----
4  EDO:  $u'(t) = -\lambda u(t)$ ,  $u(0)=u_0$ ,  $\lambda=1$ .
5
6  Figures générées :
7  1) Comparaison_visuelle.png
8     -> 2x2 : haut  $\Delta t=1$  s, bas  $\Delta t=0.001$  s ; (gauche) solutions, (droite) erreur
9  2) Erreur_vs_delta_temps.png
10     -> Erreurs L2 ( $u$  et  $u'$ ) en fonction de  $\Delta t$  (log-log)
11  3) Erreur_vs_derivé.png
12     -> Scatter de l'erreur ponctuelle  $|e(t_n)|$  en fonction de la norme
13         de la dérivée exacte  $|u'_{\text{ex}}(t_n)|$ , pour  $\Delta t=1$  s et  $\Delta t=0.001$  s.
14         Sous-figure gauche: axes linéaires ; droite: log-log.
15  """
16
17  import numpy as np
18  import matplotlib.pyplot as plt
19  from dataclasses import dataclass
20  from typing import Tuple, List
21
22
23  @dataclass
24  class Problem:
25      lam: float = 1.0    #  $\lambda$ 
26      u0: float = 1.0     # condition initiale
27      T: float = 60.0     # horizon temporel (1 minute)
28
29
30  def euler_explicite(pb: Problem, dt: float) -> Tuple[np.ndarray, np.ndarray, np.
31      ndarray]:
32      """
33      Intègre  $u' = -\lambda u$  par Euler explicite avec pas nominal dt jusqu'à T.
34      Le dernier pas est ajusté (si nécessaire) pour tomber exactement à T.
35      Retourne:
36          t : instants (taille N+1)
37          u : solution numérique aux instants t
38          dts: taille de chaque intervalle (longueur N), avec dernier dt
39              possiblement ajusté
40      """
41      T = pb.T
42      lam = pb.lam
43      u0 = pb.u0
44
45      N_full = int(np.floor(T / dt))
46      t_list = [0.0]
47      u_list = [u0]
48
49      assert dt < 2.0/lam, f"Instable pour Euler explicite:  $\lambda \Delta t = \{lam*dt:.3g\}$  (
50      attendu < 2)."
51
52      # Pas réguliers de taille dt
53      for _ in range(N_full):

```

```

51         un = u_list[-1]
52         un1 = un + dt * (-lam * un)
53         u_list.append(un1)
54         t_list.append(t_list[-1] + dt)
55
56         # Dernier pas ajusté pour atteindre exactement T (si besoin)
57         t_current = t_list[-1]
58         dt_last = T - t_current
59         dts = [dt] * N_full # liste des pas
60         if dt_last > 1e-14:
61             un = u_list[-1]
62             un1 = un + dt_last * (-lam * un)
63             u_list.append(un1)
64             t_list.append(T)
65             dts.append(dt_last)
66
67         t = np.array(t_list, dtype=float)
68         u = np.array(u_list, dtype=float)
69         dts = np.array(dts, dtype=float)
70         return t, u, dts
71
72
73 def u_exact(t: np.ndarray, pb: Problem) -> np.ndarray:
74     return pb.u0 * np.exp(-pb.lam * t)
75
76
77 def l2_error_function(t: np.ndarray, u_num: np.ndarray, dts: np.ndarray, pb:
78     Problem) -> float:
79     ue = u_exact(t, pb)
80     e_left = u_num[:-1] - ue[:-1] # erreur évaluée au bord gauche de chaque
81     intervalle
82     return float(np.sqrt(np.sum((e_left**2) * dts)))
83
84 def l2_error_derivative(t: np.ndarray, u_num: np.ndarray, dts: np.ndarray, pb:
85     Problem) -> float:
86     # dérivée numérique par intervalle
87     du = np.diff(u_num)
88     uprime_num = du / dts # taille N
89     # points milieux de chaque intervalle
90     t_mid = t[:-1] + 0.5 * dts
91     # dérivée exacte aux milieux
92     uprime_ex = -pb.lam * u_exact(t_mid, pb)
93     eprime = uprime_num - uprime_ex
94     return float(np.sqrt(np.sum((eprime**2) * dts)))
95
96 def convergence_slope(dts: np.ndarray, errs: np.ndarray) -> float:
97     x = np.log(dts)
98     y = np.log(errs)
99     A = np.vstack([x, np.ones_like(x)]).T
100     slope, _ = np.linalg.lstsq(A, y, rcond=None)[0]
101     return float(slope)
102
103 def plot_part1_two_rows(pb: Problem,
104     dt_top: float = 1.0,
105     dt_bottom: float = 1e-3,

```

```

106         savepath: str = "Visual_comparison.png") -> None:
107     """
108     Figure 2x2 : top =  $\Delta t=1$  s ; bottom =  $\Delta t=0.001$  s.
109     Colonnes: (gauche) solutions ; (droite) erreur ponctuelle.
110     """
111     # TOP ( $\Delta t = 1$  s)
112     t1, u1, dts1 = euler_explicite(pb, dt_top)
113     ue1 = u_exact(t1, pb)
114     err1 = np.abs(u1 - ue1)
115
116     # BOTTOM ( $\Delta t = 0.001$  s)
117     t2, u2, dts2 = euler_explicite(pb, dt_bottom)
118     ue2 = u_exact(t2, pb)
119     err2 = np.abs(u2 - ue2)
120
121     fig, axes = plt.subplots(2, 2, figsize=(12, 8))
122     (ax00, ax01), (ax10, ax11) = axes
123
124     # Top-left: solutions  $\Delta t=1$  s
125     ax00.plot(t1, ue1, label="Solution exacte  $u_{ex}(t)$ ")
126     ax00.plot(t1, u1, marker="o", linestyle="--", label=r"Euler  $\Delta t=1$  s")
127     ax00.set_xlabel("Temps t (s)")
128     ax00.set_ylabel("Amplitude u(t)")
129     ax00.set_title("Solutions --  $\Delta t = 1$  s")
130     ax00.grid(True, alpha=0.3)
131     ax00.legend()
132
133     # Top-right: erreur  $\Delta t=1$  s
134     ax01.plot(t1, err1, marker="o", linestyle="--", label=r" $|e(t_n)|$ ")
135     ax01.set_xlabel("Temps t (s)")
136     ax01.set_ylabel("Erreur ponctuelle")
137     ax01.set_title("Erreur --  $\Delta t = 1$  s")
138     ax01.grid(True, alpha=0.3)
139     ax01.legend()
140
141     # Bottom-left: solutions  $\Delta t=0.001$  s
142     ax10.plot(t2, ue2, label="Solution exacte  $u_{ex}(t)$ ")
143     ax10.plot(t2, u2, linestyle="--", linewidth=1.0, label=r"Euler  $\Delta t=0.001$  s")
144     ax10.set_xlabel("Temps t (s)")
145     ax10.set_ylabel("Amplitude u(t)")
146     ax10.set_title("Solutions --  $\Delta t = 0.001$  s")
147     ax10.grid(True, alpha=0.3)
148     ax10.legend()
149
150     # Bottom-right: erreur  $\Delta t=0.001$  s
151     ax11.plot(t2, err2, linestyle="--", linewidth=1.0, label=r" $|e(t_n)|$ ")
152     ax11.set_xlabel("Temps t (s)")
153     ax11.set_ylabel("Erreur ponctuelle")
154     ax11.set_title("Erreur --  $\Delta t = 0.001$  s")
155     ax11.grid(True, alpha=0.3)
156     ax11.legend()
157
158     fig.suptitle("u'(t) =  $-\lambda u$ , u(0)=1 ;  $\lambda=1$  -- Comparaison visuelle  $\Delta t$ ", y=0.98)
159     fig.tight_layout(rect=[0, 0, 1, 0.96])
160     fig.savefig(savepath, dpi=150)
161
162

```

```

163 def plot_part2(pb: Problem, n_steps: int = 20, dt_min: float = 1e-3, dt_max: float
164             = 1.0,
165             savepath: str = "L2_error_vs_deta_time.png") -> None:
166     """
167     Δt décroissants de 1 s à 0.001 s (échelle logarithmique), 20 valeurs.
168     Trace ||e||L2 et ||e'||L2 en fonction de Δt (log-log).
169     """
170     dts_list = np.logspace(np.log10(dt_max), np.log10(dt_min), n_steps)
171     errL2_u: List[float] = []
172     errL2_du: List[float] = []
173
174     for dt in dts_list:
175         t, u_num, dts = euler_explicite(pb, dt)
176         errL2_u.append(l2_error_function(t, u_num, dts, pb))
177         errL2_du.append(l2_error_derivative(t, u_num, dts, pb))
178
179     dts_arr = np.array(dts_list, dtype=float)
180     errL2_u = np.array(errL2_u, dtype=float)
181     errL2_du = np.array(errL2_du, dtype=float)
182
183     slope_u = convergence_slope(dts_arr, errL2_u)
184     slope_du = convergence_slope(dts_arr, errL2_du)
185
186     fig, ax = plt.subplots(1, 1, figsize=(6.5, 4.5))
187     ax.loglog(dts_arr, errL2_u, marker="o", linestyle="-", label=r"$\|u_h-u_{ex}\|_{L^2(0,T)}$")
188     ax.loglog(dts_arr, errL2_du, marker="s", linestyle="--", label=r"$\|u'_h-u'_{ex}\|_{L^2(0,T)}$")
189     ax.set_xlabel("Pas de temps Δt (s)")
190     ax.set_ylabel("Erreur L2 sur [0, T]")
191     ax.set_title(f"Erreurs L2 vs Δt -- pentes ≈ {slope_u:.2f} (u), {slope_du:.2f} (u')")
192     ax.grid(True, which="both", alpha=0.3)
193     ax.legend()
194     fig.tight_layout()
195     fig.savefig(savepath, dpi=150)
196
197     # Impression console (utile pour le rapport)
198     print(f"Pente de convergence (log-log) pour ||uh - uex||L2 : {slope_u:.4f}")
199
200     print(f"Pente de convergence (log-log) pour ||u'h - u'ex||L2 : {slope_du:.4f}")
201
202 def plot_error_vs_exact_derivative(pb: Problem,
203                                 dts_to_show: List[float] = [1.0, 1e-3],
204                                 savepath: str = "Error_vs_exact_derivative.png")
205     -> None:
206     """
207     Scatter: erreur ponctuelle |e(tn)| en fonction de |u'_{ex}(tn)|,
208     pour plusieurs pas de temps (par défaut: Δt=1 s et Δt=0.001 s).
209     Deux sous-graphes: (gauche) axes linéaires, (droite) log-log.
210     """
211     fig, (ax_lin, ax_log) = plt.subplots(1, 2, figsize=(12, 4.5))
212
213     for dt in dts_to_show:
214         t, u_num, dts = euler_explicite(pb, dt)
215         ue = u_exact(t, pb)

```

```

214     err = np.abs(u_num - ue)
215     deriv_norm = np.abs(-pb.lam * ue)  # = pb.lam * /ue/
216
217     ax_lin.scatter(deriv_norm, err, s=10, alpha=0.6, label=fr"$\Delta t={dt:g}$ s")
218     ax_log.loglog(deriv_norm + 1e-16, err + 1e-16, marker="o", linestyle="",
219 markersize=3, alpha=0.6, label=fr"$\Delta t={dt:g}$ s")
220
221     ax_lin.set_xlabel(r"$|u'_{ex}(t_n)|$")
222     ax_lin.set_ylabel(r"$|e(t_n)|$")
223     ax_lin.set_title("Erreur vs norme de la dérivée exacte (linéaire)")
224     ax_lin.grid(True, alpha=0.3)
225     ax_lin.legend()
226
227     ax_log.set_xlabel(r"$|u'_{ex}(t_n)|$")
228     ax_log.set_ylabel(r"$|e(t_n)|$")
229     ax_log.set_title("Erreur vs norme de la dérivée exacte (log-log)")
230     ax_log.grid(True, which="both", alpha=0.3)
231     ax_log.legend()
232
233     fig.tight_layout()
234     fig.savefig(savepath, dpi=150)
235
236 def main():
237     pb = Problem(lam=1.0, u0=1.0, T=60.0)
238
239     # Partie 1 : deux rangées:  $\Delta t = 1$  s (haut) et  $\Delta t = 0.001$  s (bas)
240     plot_part1_two_rows(pb, dt_top=1.0, dt_bottom=1e-3,
241 savepath="Comparaison_visuelle.png")
242
243     # Partie 2 : erreur L2 en fonction de  $\Delta t$  (20 valeurs entre 1 et 1e-3)
244     plot_part2(pb, n_steps=20, dt_min=1e-3, dt_max=1.0,
245 savepath="Erreur_vs_delta_temps.png")
246
247     # Partie 3 : Erreur ponctuelle vs norme de la dérivée exacte
248     plot_error_vs_exact_derivative(pb, dts_to_show=[1.0, 1e-3],
249 savepath="Erreur_vs_dérivé.png")
250
251
252 if __name__ == "__main__":
253     main()

```


1.3 Comparaison visuelle pour deux pas de temps

La figure 1.1 montre, en haut, la solution exacte et la solution d'Euler pour $\Delta t = 1$ s, ainsi que l'erreur ponctuelle correspondante; en bas, les mêmes quantités pour $\Delta t = 0,001$ s. On observe :

- pour $\Delta t = 1$ s, une dissipation numérique très forte dès les premiers instants: le schéma est stable (car $\lambda\Delta t = 1 < 2$) mais peu précis; l'erreur atteint un maximum au début puis décroît ensuite car u_{ex} décroît;
- pour $\Delta t = 0,001$ s, la solution d'Euler colle à la solution exacte, et l'erreur ponctuelle est de l'ordre de 10^{-6} – 10^{-4} au début puis s'éteint très rapidement au fur et à mesure que la solution exacte décroît.

$$u'(t) = -\lambda u, u(0)=1; \lambda=1 \text{ — Comparaison visuelle } \Delta t$$

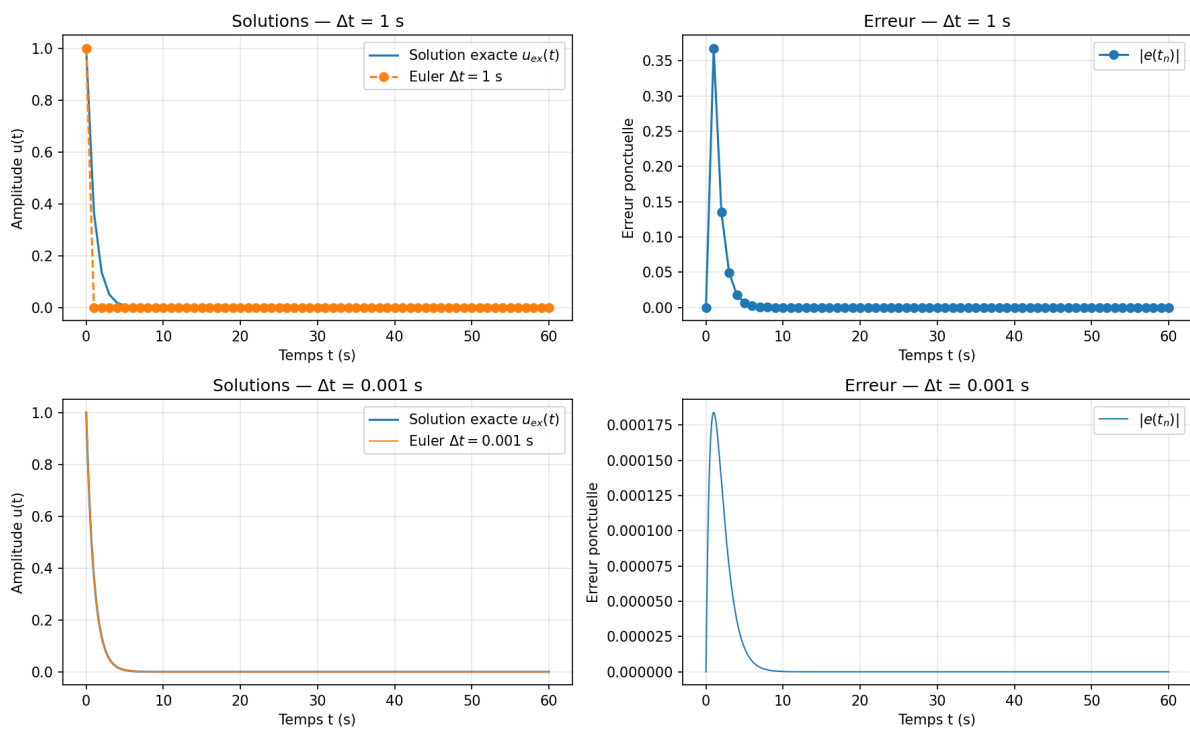


FIGURE 1.1 – Comparaison visuelle des solutions et de l'erreur ponctuelle pour $\Delta t = 1$ s (haut) et $\Delta t = 0,001$ s (bas).

1.4 Erreurs L^2 en fonction de Δt

La figure 1.2 présente les erreurs L^2 (pour u en trait plein et pour u' en tirets) en fonction du pas de temps, sur une échelle log-log. La régression linéaire renvoie des pentes voisines de 1 (ici ≈ 1.04 pour u et ≈ 1.06 pour u'), ce qui est conforme à l'ordre 1 attendu pour la méthode d'Euler explicite. Autrement dit, en divisant Δt par 10, l'erreur globale décroît approximativement d'un facteur 10.

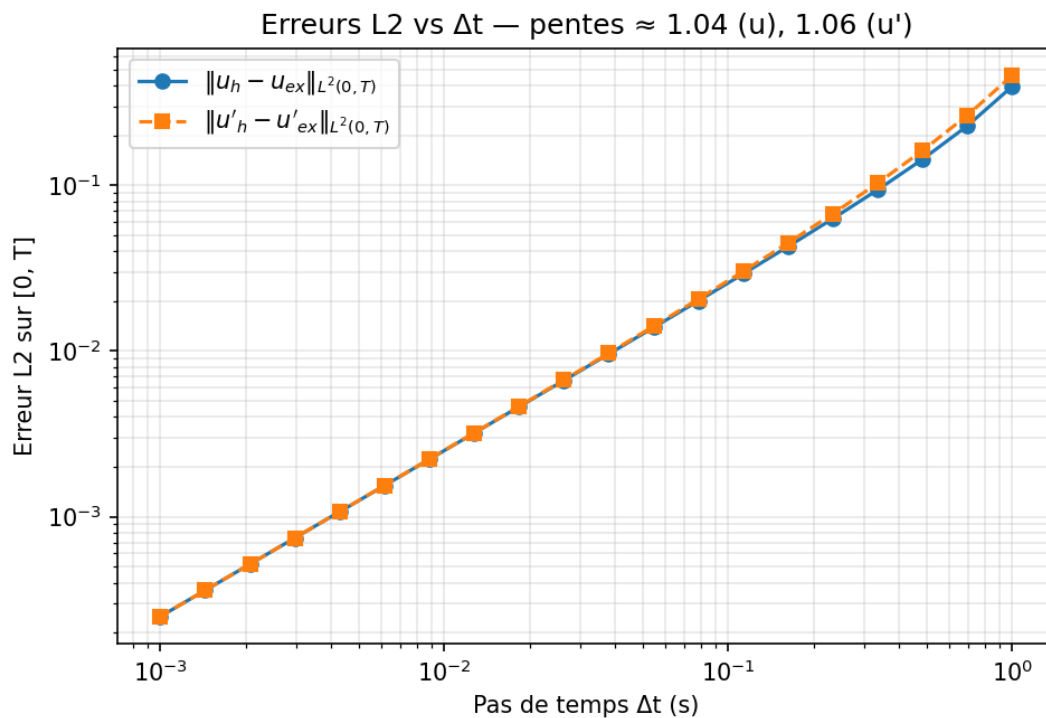


FIGURE 1.2 – Erreurs $\|u_h - u_{\text{ex}}\|_{L^2(0,T)}$ et $\|u'_h - u'_{\text{ex}}\|_{L^2(0,T)}$ versus Δt ; les pentes log-log mesurées sont proches de 1 (ordre d'Euler).

1.5 Erreur ponctuelle vs norme de la dérivée exacte

Enfin, la figure 1.3 représente le nuage de points *erreur ponctuelle* $|e(t_n)|$ en fonction de la quantité $|u'_{\text{ex}}(t_n)|$ pour deux pas de temps ($\Delta t = 1$ s et $\Delta t = 10^{-3}$ s), à gauche en échelle linéaire et à droite en échelle log-log.

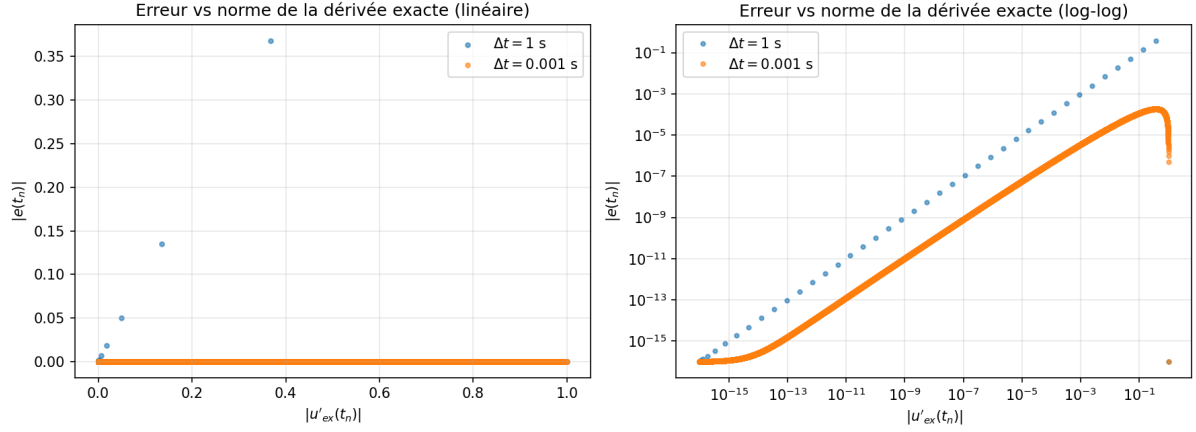


FIGURE 1.3 – Erreur ponctuelle $|e(t_n)|$ en fonction de $|u'_{\text{ex}}(t_n)|$ (échelles linéaire et log-log) pour deux pas de temps. La corrélation forte entre erreur et norme de la dérivée est manifeste; l’“amélioration” en fin d’intervalle provient du fait que $|u'_{\text{ex}}|$ devient très petit près du bord, pas d’un changement d’ordre de la méthode.

Point important à retenir. Cette figure met en évidence une limite inhérente au schéma d’Euler : **la précision locale dépend directement de la norme de la dérivée de la solution.** Lorsque $|u'_{\text{ex}}(t_n)|$ est grand (c’est le cas aux premiers instants lorsque u est encore loin de zéro), l’erreur ponctuelle est la plus élevée, *même si l’on raffine le pas de temps*. En revanche, lorsque $|u'_{\text{ex}}(t_n)|$ devient très petit (vers la fin de l’intervalle, la solution est proche de zéro), l’erreur semble “s’améliorer” naturellement. Il ne s’agit pas d’un gain miraculeux de la méthode, mais d’un effet de *bord* : la condition imposée au bord (solution qui tend vers 0 et pas final ajusté) rend $|u'_{\text{ex}}|$ petit, donc l’erreur locale diminue mécaniquement. La conclusion pratique est que, pour un même Δt , la zone où la dérivée varie rapidement restera la plus difficile pour Euler explicite; diminuer Δt réduit l’erreur globale mais ne supprime pas cette dépendance à $|u'|$.

Chapitre 2

Convection–diffusion avec source gaussienne

2.1 Résumé

Ce document explique le fonctionnement du script `convection_diffusion.py` et commente l'image `triple_panel.png` qu'il génère. Le problème résolu est une équation de convection–diffusion–(réaction) 2D sur le carré unité, avec conditions de Dirichlet imposées *uniquement* sur les bords **entrants** au sens de l'advection, et conditions de type Neumann homogène ailleurs. Le script produit une solution numérique, une solution de référence plus fine, et des cartes d'erreur ponctuelle ainsi que des normes L^2 .

2.2 L'équation et les données

On considère

$$\partial_t u + \mathbf{V} \cdot \nabla u - \nu \Delta u = -\lambda u + f(x, y), \quad (x, y) \in (0, 1)^2, \quad t \in (0, T],$$

avec $\mathbf{V} = (v_1, v_2)$, la viscosité ν , le terme de réaction λ (nul ici) et une source gaussienne $f(x, y) = T_c \exp(-k \|(x, y) - \mathbf{s}_c\|^2)$ centrée en $\mathbf{s}_c = (0,35, 0,55)$. Les paramètres utilisés par défaut sont $T = 1$, $\mathbf{V} = (1, 0,3)$, $\nu = 10^{-2}$, $u_{\text{in}} = 0$, $T_c = 1$, $k = 80$, sur une grille grossière 61×61 ; une référence est calculée sur une grille deux fois plus fine dans chaque direction.

2.3 Discrétisation spatiale

- **Diffusion / réaction** : schéma à 5 points pour $-\nu \Delta u$ et ajout de λu . Les nœuds marqués Dirichlet (bords entrants) sont traités en imposant la diagonale unité dans la matrice (ligne identité), ce qui fixe $u = u_{\text{in}}$ à ces endroits. Sur les bords non-Dirichlet, une formule à un seul voisin implémente de facto une condition de Neumann homogène.
- **Advection** : dérivées amont (*upwind*) en x et y . Les valeurs aux bords nécessaires par l'amont sont prises égales à u_{in} .

2.4 Schéma en temps (IMEX)

Le script utilise un schéma **IMEX** : l'advection et la source f sont traitées explicitement, tandis que diffusion et réaction sont implicites. À chaque pas de temps Δt , on forme d'abord

$$u^* = u^n + \Delta t (\text{advection}(u^n) + f),$$

puis on résout linéairement

$$\left(\frac{1}{\Delta t} + \lambda - \nu \Delta\right) u^{n+1} = \frac{1}{\Delta t} u^*,$$

avec les lignes Dirichlet déjà mises à l'identité. La matrice creuse est factorisée une seule fois (`splu`), puis réutilisée à chaque pas. Le pas de temps est choisi par une condition CFL advection (min de $\Delta x/|v_1|$ et $\Delta y/|v_2|$) et ajusté pour tomber exactement à T .

2.5 Code Python utilisé

Listing 2.1 – `convection_diffusion.py` : résolution IMEX, calcul des erreurs et génération du triptyque.

```
1  """
2  Convection-Diffusion(-Réaction) 2D (Dirichlet uniquement aux bords entrants).
3  - Génère uniquement un triptyque (collage) des 3 vues :
4    solution, erreur sur u, erreur sur la norme du gradient.
5  - Sauvegarde dans le même dossier que ce script et affiche le triptyque.
6
7  Équation :  $u_t + V \cdot \nabla u - \nu \Delta u = -\lambda u + f(x,y)$ ,
8              $f(x,y) = T_c \cdot \exp(-k \cdot \|(x,y) - s_c\|^2)$ .
9  """
10
11 from io import BytesIO
12 from pathlib import Path
13 import numpy as np
14 import scipy.sparse as sp
15 import scipy.sparse.linalg as spla
16 import matplotlib.pyplot as plt
17
18 def bords_entrants(v1, v2):
19     """Côtés entrants ( $V \cdot n < 0$ ) pour  $V=(v1,v2)$ ."""
20     return (v1 > 0), (v1 < 0), (v2 > 0), (v2 < 0) # gauche, droite, bas, haut
21
22 def masque_dirichlet(Nx, Ny, inflow):
23     in_left, in_right, in_bot, in_top = inflow
24     m = np.zeros((Ny, Nx), dtype=bool)
25     if in_left: m[:, 0] = True
26     if in_right: m[:, -1] = True
27     if in_bot: m[0, :] = True
28     if in_top: m[-1, :] = True
29     return m
30
31 def assemble_operateur(Nx, Ny, dx, dy, dt, nu, lam, mD):
32     alpha = 1.0/dt + lam
33     N = Nx*Ny
34     rows, cols, vals = [], [], []
```

```

35
36 def idg(i,j): return i + Nx*j
37
38 for j in range(Ny):
39     for i in range(Nx):
40         p = idg(i,j)
41         if mD[j,i]:
42             rows.append(p); cols.append(p); vals.append(1.0)
43             continue
44
45         diag = alpha
46         # x
47         if i == 0:
48             diag += nu*(1.0/dx**2)
49             rows.append(p); cols.append(idg(i+1,j)); vals.append(-nu*(1.0/dx
50 **2))
51         else:
52             rows.append(p); cols.append(idg(i-1,j)); vals.append(-nu*(1.0/dx
53 **2))
54             diag += nu*(1.0/dx**2)
55         if i == Nx-1:
56             diag += nu*(1.0/dx**2)
57             rows.append(p); cols.append(idg(i-1,j)); vals.append(-nu*(1.0/dx
58 **2))
59         else:
60             rows.append(p); cols.append(idg(i+1,j)); vals.append(-nu*(1.0/dx
61 **2))
62             diag += nu*(1.0/dx**2)
63         # y
64         if j == 0:
65             diag += nu*(1.0/dy**2)
66             rows.append(p); cols.append(idg(i,j+1)); vals.append(-nu*(1.0/dy
67 **2))
68         else:
69             rows.append(p); cols.append(idg(i,j-1)); vals.append(-nu*(1.0/dy
70 **2))
71             diag += nu*(1.0/dy**2)
72         if j == Ny-1:
73             diag += nu*(1.0/dy**2)
74             rows.append(p); cols.append(idg(i,j-1)); vals.append(-nu*(1.0/dy
75 **2))
76         else:
77             rows.append(p); cols.append(idg(i,j+1)); vals.append(-nu*(1.0/dy
78 **2))
79             diag += nu*(1.0/dy**2)
80
81         rows.append(p); cols.append(p); vals.append(diag)
82
83     return sp.csr_matrix((vals, (rows, cols)), shape=(N, N))
84
85 def advection_amont(u, v1, v2, dx, dy, uL, uR, uB, uT):
86     Ny, Nx = u.shape
87     dudx = np.zeros_like(u)
88     dudy = np.zeros_like(u)
89     # x
90     if v1 >= 0:
91         dudx[:, 1:] = (u[:, 1:] - u[:, :-1]) / dx
92         dudx[:, 0] = (u[:, 0] - uL[:, 0]) / dx

```

```

85     else:
86         dudx[:, :-1] = (u[:, 1:] - u[:, :-1]) / dx
87         dudx[:, -1] = (uR[:, -1] - u[:, -1]) / dx
88     # y
89     if v2 >= 0:
90         dudy[1:, :] = (u[1:, :] - u[:-1, :]) / dy
91         dudy[0, :] = (u[0, :] - uB[0, :]) / dy
92     else:
93         dudy[:-1, :] = (u[1:, :] - u[:-1, :]) / dy
94         dudy[-1, :] = (uT[-1, :] - u[-1, :]) / dy
95     return -(v1*dudx + v2*dudy)
96
97 def source_gauss(x, y, Tc, k, sc):
98     X, Y = np.meshgrid(x, y, indexing='xy')
99     return Tc * np.exp(-k * ((X - sc[0])**2 + (Y - sc[1])**2))
100
101 def norme_grad(u, dx, dy):
102     Ny, Nx = u.shape
103     dudx = np.zeros_like(u); dudy = np.zeros_like(u)
104     dudx[:, 1:-1] = (u[:, 2:] - u[:, :-2]) / (2*dx)
105     dudy[1:-1, :] = (u[2:, :] - u[:-2, :]) / (2*dy)
106     dudx[:, 0] = (u[:, 1] - u[:, 0]) / dx
107     dudx[:, -1] = (u[:, -1] - u[:, -2]) / dx
108     dudy[0, :] = (u[1, :] - u[0, :]) / dy
109     dudy[-1, :] = (u[-1, :] - u[-2, :]) / dy
110     return np.sqrt(dudx**2 + dudy**2)
111
112 def erreur_L2(champ, ref, dx, dy):
113     diff = champ - ref
114     return np.sqrt(np.sum(diff**2) * dx * dy)
115
116 def resout_imex(ax,bx,ay,by,Nx,Ny,T,v1,v2,nu,lam,u_in,Tc,k,sc,cfl):
117     x = np.linspace(ax, bx, Nx)
118     y = np.linspace(ay, by, Ny)
119     dx = (bx-ax)/(Nx-1); dy = (by-ay)/(Ny-1)
120
121     inflow = bords_entrants(v1, v2)
122     mD = masque_dirichlet(Nx, Ny, inflow)
123
124     limites = []
125     if abs(v1)>0: limites.append(dx/abs(v1))
126     if abs(v2)>0: limites.append(dy/abs(v2))
127     dt = cfl*min(limites) if limites else 0.02*min(dx,dy)
128     nsteps = int(np.ceil(T/dt)); dt = T/nsteps
129
130     M = assemble_operateur(Nx, Ny, dx, dy, dt, nu, lam, mD)
131     lu = spla.splu(M.tocsc())
132
133     f = source_gauss(x, y, Tc, k, sc)
134     u = np.zeros((Ny, Nx))
135
136     uL = np.full((Ny, 1), u_in)
137     uR = np.full((Ny, 1), u_in)
138     uB = np.full((1, Nx), u_in)
139     uT = np.full((1, Nx), u_in)
140
141     for _ in range(nsteps):
142         adv = advection_amont(u, v1, v2, dx, dy,

```

```

143         np.repeat(uL, Nx, axis=1)[: , :1],
144         np.repeat(uR, Nx, axis=1)[: , -1:],
145         np.repeat(uB, Ny, axis=0)[:1, :],
146         np.repeat(uT, Ny, axis=0)[-1:, :])
147     u_star = u + dt*(adv + f)
148     rhs = (u_star/dt).ravel()
149     rhs[mD.ravel()] = u_in
150     u = lu.solve(rhs).reshape(Ny, Nx)
151
152     return x, y, u, {"dt": dt, "nsteps": nsteps}
153
154 def figure_as_image(plotter, figsize=(6,5), dpi=160):
155     """Crée une figure Matplotlib via la fonction plotter(ax) et renvoie son image
156     PIL en mémoire."""
157     import PIL.Image as Image
158     fig, ax = plt.subplots(figsize=figsize)
159     plotter(ax)
160     buf = BytesIO()
161     fig.tight_layout()
162     fig.savefig(buf, format="png", dpi=dpi)
163     plt.close(fig)
164     buf.seek(0)
165     return Image.open(buf).convert("RGB")
166
167 def collage_horizontal(images, outpath):
168     """Colle des images PIL horizontalement et enregistre le résultat."""
169     from PIL import Image
170     h = max(im.size[1] for im in images)
171     imgs = [im.resize((int(im.size[0]*h/im.size[1]), h)) for im in images]
172     W = sum(im.size[0] for im in imgs)
173     canvas = Image.new("RGB", (W, h), (255,255,255))
174     xoff = 0
175     for im in imgs:
176         canvas.paste(im, (xoff, 0)); xoff += im.size[0]
177     canvas.save(outpath)
178     return canvas
179
180 def run():
181     # ----- Paramètres -----
182     ax, bx, ay, by = 0.0, 1.0, 0.0, 1.0
183     Nx, Ny = 61, 61
184     T = 1.0
185     v1, v2 = 1.0, 0.3
186     nu, lam = 0.01, 0.0
187     u_in = 0.0
188     Tc, k = 1.0, 80.0
189     sc = (0.35, 0.55)
190     cfl = 0.45
191
192     # >>> Enregistrer dans le **même dossier que le script** <<<
193     outdir = Path(__file__).parent
194     outdir.mkdir(parents=True, exist_ok=True)
195     outfile = outdir / "triple_panel.png"
196
197     # Solve coarse
198     x, y, uC, infoC = resout_imex(ax,bx,ay,by,Nx,Ny,T,v1,v2,nu,lam,u_in,Tc,k,sc,
199     cfl)
200     dxC, dyC = (bx-ax)/(Nx-1), (by-ay)/(Ny-1)

```



```

199
200 # Reference fine
201 NxF, NyF = 2*(Nx-1)+1, 2*(Ny-1)+1
202 xF, yF, uF, infoF = resout_imex(ax,bx,ay,by,NxF,NyF,T,v1,v2,nu,lam,u_in,Tc,k,
203   sc,cfl)
204 uF_on_C = uF[:,2, :2]
205
206 # Errors
207 e_u_L2 = erreur_L2(uC, uF_on_C, dxC, dyC)
208 gC = norme_grad(uC, dxC, dyC)
209 dxF, dyF = (bx-ax)/(NxF-1), (by-ay)/(NyF-1)
210 gF = norme_grad(uF, dxF, dyF)
211 gF_on_C = gF[:,2, :2]
212 e_g_L2 = erreur_L2(gC, gF_on_C, dxC, dyC)
213
214 e_u_pw = np.abs(uC - uF_on_C)
215 e_g_pw = np.abs(gC - gF_on_C)
216 extent = [ax, bx, ay, by]
217
218 # Figures en mémoire
219 def plot_solution(axp):
220     im = axp.imshow(uC, extent=extent, origin='lower', aspect='auto')
221     axp.set_title(f"Solution u(x,y, T={T:.2f})\nV=({v1},{v2}), ν={nu}, λ={lam}"
222       ")
223     axp.set_xlabel("x"); axp.set_ylabel("y")
224     plt.colorbar(im, ax=axp, fraction=0.046, pad=0.04)
225
226 def plot_err_u(axp):
227     im = axp.imshow(e_u_pw, extent=extent, origin='lower', aspect='auto')
228     axp.set_title(f"Erreur ponctuelle |u - u_ref| (||e||={e_u_L2:.2e})")
229     axp.set_xlabel("x"); axp.set_ylabel("y")
230     plt.colorbar(im, ax=axp, fraction=0.046, pad=0.04)
231
232 def plot_err_grad(axp):
233     im = axp.imshow(e_g_pw, extent=extent, origin='lower', aspect='auto')
234     axp.set_title(f"Erreur ponctuelle ||∇u|| - ||∇u_ref|| (||e||={e_g_L2:.2e})")
235     axp.set_xlabel("x"); axp.set_ylabel("y")
236     plt.colorbar(im, ax=axp, fraction=0.046, pad=0.04)
237
238 img1 = figure_as_image(plot_solution)
239 img2 = figure_as_image(plot_err_u)
240 img3 = figure_as_image(plot_err_grad)
241
242 # Collage (unique fichier écrit)
243 collage = collage_horizontal([img1, img2, img3], outfile)
244
245 # Affichage
246 plt.figure(figsize=(14,5))
247 plt.imshow(collage)
248 plt.axis("off")
249 plt.title("Triptyque : Solution -- Erreur u -- Erreur ||∇u||")
250 plt.show()
251
252 print("Triptyque enregistré dans :", outfile)
253
254 if __name__ == "__main__":
255     run()

```

2.6 Évaluation de l'erreur et post-traitement

Après avoir calculé u sur la grille grossière, une solution de *référence* u_{ref} est obtenue sur la grille fine. Elle est sous-échantillonnée sur la grille grossière pour comparer u et u_{ref} . Le script calcule :

- la norme L^2 de l'erreur sur u ,
- la norme du gradient $\|\nabla u\|$ (par différences centrées) et la norme L^2 de l'erreur correspondante,
- deux cartes d'erreur ponctuelle : $|u - u_{\text{ref}}|$ et $|\|\nabla u\| - \|\nabla u_{\text{ref}}\||$.

Trois figures sont produites en mémoire puis rassemblées en un *trptyque* sauvegardé sous `triple_panel.png`.

2.7 Le triptyque généré et son interprétation

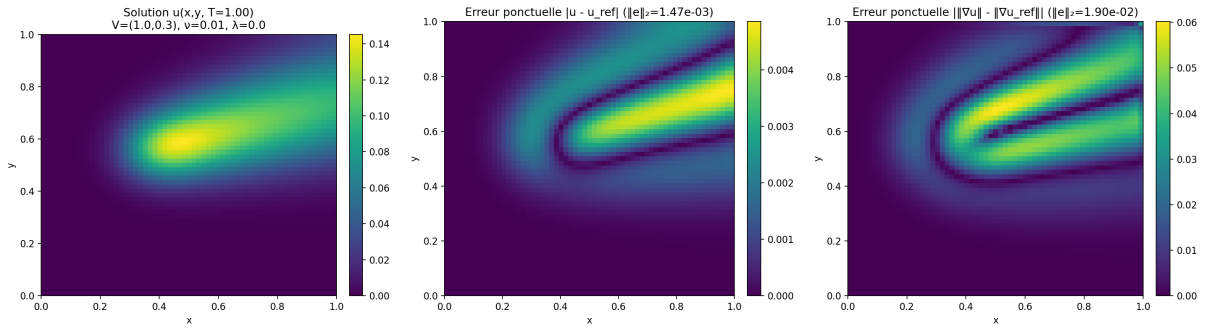


FIGURE 2.1 – De gauche à droite : solution $u(x, y, T)$; erreur ponctuelle $|u - u_{\text{ref}}|$ (la légende rappelle $\|e\|_2$ typiquement $\sim 1,5 \times 10^{-3}$ ici) ; erreur ponctuelle sur la norme du gradient $|\|\nabla u\| - \|\nabla u_{\text{ref}}\||$ (avec $\|e\|_2 \approx 1,9 \times 10^{-2}$).

Commentaire. La solution présente une *bulle* créée par la source gaussienne, advectée le long des lignes de courant de $\mathbf{V} = (1, 0, 3)$ (trajectoire oblique montante), et légèrement *étalée* par la diffusion $\nu > 0$. Les erreurs maximales suivent les zones à fort *cisaillement* (fronts de solution) et les traces obliques sont typiques de l'advection amont : l'erreur sur u reste faible et lisse, tandis que l'erreur sur $\|\nabla u\|$ est plus marquée le long des pentes raides où la diffusion numérique et le pas de maille influent davantage.

Chapitre 3

Simulation numérique d'une équation de convection–diffusion–réaction 1D (conditions de Dirichlet–Neumann)

3.1 Motivation

On souhaite illustrer le comportement d'une quantité scalaire $u(t, x)$ transportée par un flux constant, tout en subissant diffusion et (éventuellement) réaction. Le phénomène est modélisé par l'EDP

$$\partial_t u + v \partial_x u - \nu \partial_{xx} u + \lambda u = f(t, x), \quad x \in (0, L), \quad t \in (0, T],$$

avec une condition de Dirichlet à gauche $u(t, 0) = u_\ell(t)$, une condition de Neumann à droite $u_x(t, L) = g(t)$, et une condition initiale $u(0, x) = u_0(x)$. Cette étude numérique permet d'observer l'advection d'une bosse initiale, son étalement diffusif et l'influence des conditions aux bords.

3.2 Code Python

Le code ci-dessous met en place un schéma implicite en temps, avec advection *upwind*, diffusion centrale et terme de réaction.

Fichier : `convection_diffusion_1D.py`

```
1 import numpy as np
2 import matplotlib.pyplot as plt
3
4 # =====
5 # Paramètres du modèle (à ajuster)
6 # =====
7 L      = 1.0          # longueur du domaine [0, L]
8 v      = 0.750        # vitesse de convection (constante)
9 nu     = 1e-2         # diffusivité
10 lam    = 0.0          # lambda de réaction (>=0 typiquement)
11 T      = 1.0          # temps final
12 N      = 500          # N intervalles => N+1 points de grille
```

```

13 dt      = 5e-4          # pas de temps
14
15 # Fonctions sources et CL (modifiez librement)
16 def f(t, x):
17     # source volumique (exemple: nulle)
18     return 0.0
19
20 def ul(t):
21     # Dirichlet à gauche (exemple: constant et non nul)
22     return 0.0
23
24 def g(t):
25     # Neumann à droite  $u_x(t,L)=g(t)$  (exemple: constant et non nul)
26     return 0.0
27
28 # Paramètres de la gaussienne de départ (utilisée dans u0)
29 xc      = 0.2 * L        # centre
30 sigma   = 0.05 * L       # largeur
31 A_amp   = 1.0            # amplitude libre de la gaussienne
32 # =====
33
34
35 # =====
36 # Construction de u0(x) compatible avec  $u(0)=ul(0)$  et  $u_x(L)=g(0)$ 
37 #  $u0(x) = A*G(x) + B*x + C$ 
38 #  $G(x) = \exp(-(x-xc)^2/(2*sigma^2))$ 
39 # Conditions:
40 #  $u0(0)=ul(0) \Rightarrow C = ul(0) - A*G(0)$ 
41 #  $u0'(L)=g(0) \Rightarrow u0'(x)=A*(-(x-xc)/sigma^2)G(x) + B$ 
42 #  $B = g(0) - A*(-(L-xc)/sigma^2)*G(L)$ 
43 # =====
44 def build_u0(x, A=A_amp, xc=xc, sigma=sigma):
45     G0 = np.exp(-(x - xc)**2 / (2.0 * sigma**2))
46     G0_at_0 = np.exp(-(0.0 - xc)**2 / (2.0 * sigma**2))
47     G0_at_L = np.exp(-(L - xc)**2 / (2.0 * sigma**2))
48
49     B = g(0.0) - A * (-(L - xc) / sigma**2) * G0_at_L
50     C = ul(0.0) - A * G0_at_0
51
52     u0 = A * G0 + B * x + C
53     return u0
54
55
56 # =====
57 # Assemblage du système linéaire implicite:
58 #  $(I - dt * L) u^{n+1} = u^n + dt f^{n+1}$ 
59 # avec  $L = -v D1_{upwind} + nu D2 - lam I$ 
60 # On encode directement  $A = I + dt*v*D1_{upwind} - dt*nu*D2 + dt*lam*I$ 
61 # et on remplace les deux lignes de bord par les CL (Dirichlet/Neumann).
62 # =====
63 def build_matrix(N, L, dt, v, nu, lam):
64     dx = L / N
65     size = N + 1
66     A = np.zeros((size, size))
67
68     # Upwind pour l'advection (au niveau des points  $i=1..N-1$ )
69     #  $D1_{upwind} u_i \sim (u_i - u_{i-1})/dx$  si  $v>0$ 
70     #  $\sim (u_{i+1} - u_i)/dx$  si  $v<0$ 

```

```

71 use_backward = (v >= 0.0)
72
73 # Remplissage lignes intérieures i=1..N-1
74 for i in range(1, N):
75     # Diffusion (D2 central):  $u_{i-1} - 2u_i + u_{i+1}$  sur  $dx^2$ 
76     A[i, i] += 1.0 + dt * lam + dt * nu * (2.0 / dx**2)
77     A[i, i-1] += - dt * nu * (1.0 / dx**2)
78     A[i, i+1] += - dt * nu * (1.0 / dx**2)
79
80     # Advection implicite upwind
81     if use_backward:
82         #  $D1 \approx (u_i - u_{i-1})/dx$ 
83         A[i, i] += dt * v * (1.0 / dx)
84         A[i, i-1] += dt * v * (-1.0 / dx)
85     else:
86         #  $D1 \approx (u_{i+1} - u_i)/dx$ 
87         A[i, i] += dt * v * (-1.0 / dx)
88         A[i, i+1] += dt * v * (1.0 / dx)
89
90     # Bord gauche (Dirichlet) :  $u(t, 0) = u_l(t)$ 
91     A[0, :] = 0.0
92     A[0, 0] = 1.0
93
94     # Bord droit (Neumann) :  $(u_N - u_{N-1})/dx = g(t)$ 
95     A[N, :] = 0.0
96     A[N, N-1] = -1.0 / dx
97     A[N, N] = 1.0 / dx
98
99     return A
100
101
102 def step_rhs(u_prev, t_next, x, dt):
103     # RHS  $b = u^n + dt f(t^{n+1}, x)$  pour points intérieurs
104     b = u_prev.copy()
105     b[1:-1] += dt * np.array([f(t_next, xi) for xi in x[1:-1]])
106
107     # CL de Dirichlet au bord gauche
108     b[0] = ul(t_next)
109
110     # CL de Neumann au bord droit
111     b[-1] = g(t_next)
112
113     return b
114
115
116 def solve_pde(L, v, nu, lam, T, N, dt):
117     x = np.linspace(0.0, L, N + 1)
118     A = build_matrix(N, L, dt, v, nu, lam)
119
120     # Pré-calcul: factorisation possible (si SciPy dispo), ici solve dense simple
121     # Création de  $u^0$  compatible
122     u = build_u0(x)
123
124     # Petits checks de compatibilité (informative, tolérance  $\sim 1e-8$ )
125     dx = L / N
126     dL_num = (u[-1] - u[-2]) / dx
127     if abs(u[0] - ul(0.0)) > 1e-8 or abs(dL_num - g(0.0)) > 1e-6:
128         print("[Avertissement] u0 n'est pas parfaitement compatible numériquement

```

```

129     avec les CL.")
130
131     times_to_store = np.linspace(0.0, T, 5) # 5 instants (dont t=0 et t=T)
132     snapshots = [(0.0, u.copy())]
133     t = 0.0
134     next_store_idx = 1 # le prochain instant à mémoriser (sauter t=0 déjà stocké)
135
136     while t < T - 1e-12:
137         t_next = min(t + dt, T)
138         b = step_rhs(u, t_next, x, dt)
139         u = np.linalg.solve(A, b)
140         t = t_next
141
142         # stocker si on a franchi le prochain jalon
143         while next_store_idx < len(times_to_store) and t >= times_to_store[
144             next_store_idx] - 1e-12:
145             snapshots.append((times_to_store[next_store_idx], u.copy()))
146             next_store_idx += 1
147
148     return x, snapshots
149
150 # =====
151 # Lancement + visualisation
152 # =====
153 x, snapshots = solve_pde(L, v, nu, lam, T, N, dt)
154
155 plt.figure()
156 for (ti, ui) in snapshots:
157     plt.plot(x, ui, label=f"t={ti:.3f}")
158 plt.xlabel("x")
159 plt.ylabel("u(t,x)")
160 plt.title("Convection-Diffusion-Réaction 1D (Dirichlet gauche, Neumann droite)")
161 plt.legend()
162 plt.tight_layout()
163 plt.savefig("Convection_Diffusion_Réaction_1D.png", dpi=300, bbox_inches="tight")
164 plt.show()

```

3.3 Ce que fait le code et comment il le fait

- **Discrétisation spatiale.** Le domaine $[0, L]$ est maillé uniformément en $N+1$ points. L'advection est discrétisée par un opérateur *upwind* (retard si $v \geq 0$, avance sinon) pour stabiliser le transport. La diffusion utilise une approximation centrale d'ordre 2. Le terme de réaction est traité linéairement.
- **Avancement en temps (implicite).** À chaque pas, on résout

$$(I + \Delta t v D_1^{\text{up}} - \Delta t \nu D_2 + \Delta t \lambda I) u^{n+1} = u^n + \Delta t f^{n+1}.$$

La matrice A correspond au membre de gauche; le second membre incorpore aussi les conditions aux limites.

- **Conditions aux limites.** Dirichlet en $x=0$ imposée en remplaçant la première ligne de A . Neumann en $x=L$ imposée via une différence finie pour $u_x(t, L) = g(t)$.

- **Condition initiale compatible.** $u_0(x)$ est la somme d'une gaussienne et d'une partie affine choisie pour satisfaire $u(0,0) = u_\ell(0)$ et $u_x(0,L) = g(0)$, afin d'éviter des incohérences numériques dès $t=0$.
- **Sortie graphique.** Cinq *snapshots* $t \in \{0, 0.25, 0.5, 0.75, 1\}$ sont tracés et sauvegardés dans un fichier image.

3.4 Résultat (figure)

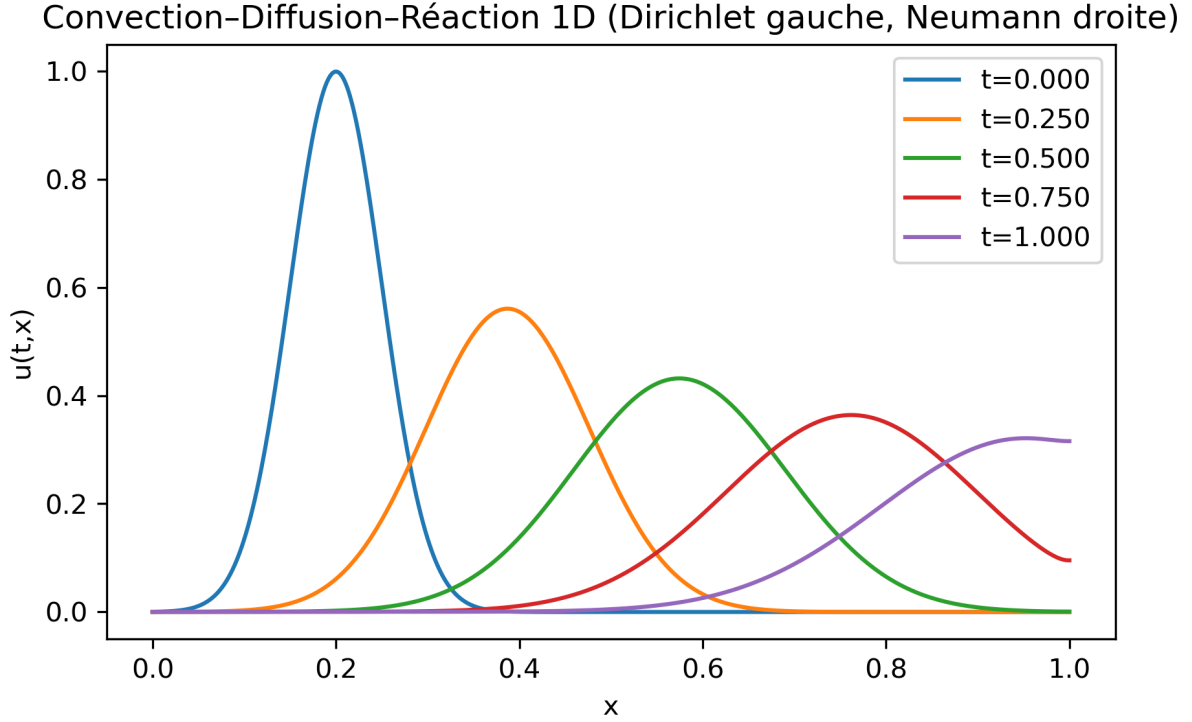


FIGURE 3.1 – Solution numérique $u(t, x)$ pour $v = 0.75$, $\nu = 10^{-2}$, $\lambda = 0$, $L = 1$, avec Dirichlet à gauche et Neumann (flux nul) à droite.

3.5 Commentaire sur la figure

La bosse initiale centrée près de $x \simeq 0.2$ est *advectionnée* vers la droite à vitesse constante v , tandis que la diffusion l'élargit et en réduit l'amplitude au fil du temps. La condition de Dirichlet maintient la solution proche de zéro à gauche, alors que la condition de Neumann impose un flux nul au bord droit, ce qui se traduit par une pente $\partial_x u \simeq 0$ quand l'onde atteint $x = L$. Avec $\lambda = 0$, l'amplitude décroît uniquement par diffusion; si $\lambda > 0$ on observerait en plus une décroissance exponentielle globale.